

東北大学 学生員 大久保孝樹
 東北大学 正会員 野池 達也
 東北大学 学生員 沢口 明

1.はじめに：鉄酸化バクテリアは主に硫化鉄を含有する鉱山地域に生息し、その排水中の第一鉄を第二鉄に酸化することによって増殖のエネルギーを得ている。北上川の二次支川である赤川では、処理場が建設される以前河床に付着した鉄酸化バクテリアによって鉄酸化作用が行なわれていた。

たここが調査によって報告されていた。本研究では、このような酸性河川中の鉄酸化バクテリアによる鉄酸化作用の機構を解明し、また、河川中で浮遊菌と付着菌の二種の存在形態を有する鉄酸化バクテリアの挙動およびその相互関係を把握することを目的としている。その一部として、今回の連続実験では、滞留時間による鉄酸化バクテリアの挙動に対する影響について検討を行なった。また、連続実験において、付着鉄酸化バクテリアの挙動が溶存酸素によって制限を受けていたと推測されたので、その補助的な要因として浮遊菌を用いた回分実験によって鉄酸化バクテリアのDO依存性について検討を行なった。

2. 実験装置および方法：連続実験および回分実験装置を(図-1)(図-2)に示す。鉄酸化バクテリアは赤川より採取したもので、9K培地30℃での通気培養を数日間植え替いながらを使用している。①連続実験では、鉄酸化バクテリアを壁面に付着させるため数日間回分状態を経て鉄沈着物を付着させた後(表-1)に示す基質を連続投入した。滞留時間を約4~25hr の間で変化させ、水温25℃、流入基質濃度500mg/lとすることで実験を行なった。②回分実験で用いた鉄酸化バクテリアは、9K培地25℃で馴致したバクテリアを遠心分離機で収穫したものである。基質は、140mg/l~1900mg/l の範囲で設定し、栄養塩類を除いたものを使用した。

3. 実験結果および考察：①連続実験：(図-3)に滞留時間(θ)と槽内第一鉄濃度(S)の関係を示す。 θ と S は、 $\theta=23.3\text{ hr}$ の点を除くと直線関係にあり基質に関する0次反応であると仮定した場合の式

$S = S_0 - K_0 \theta$ の関係式によって表現することが可能である。(図-4)は、滞留時間と槽内DOの関係を示したものである。滞留時間 $\theta=4\sim16\text{ hr}$ (0次反応に従う領域)では溶存酸素濃度が非常に低いレベルでほぼ一定値($0.9\text{ mg O}_2/\text{l}$ 前後)を取り、一方、 $\theta=23.3\text{ hr}$ の点は、こ

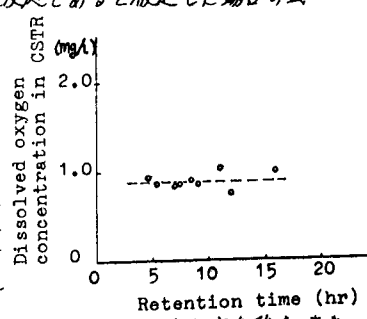


図-4 槽内溶存酸素濃度と滞留時間の関係

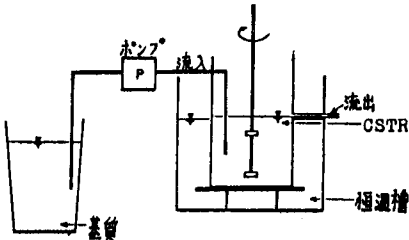


図-1 連続実験装置の概略

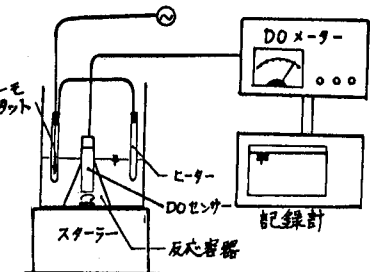


図-2 回分実験装置の概略

表-1 基質組成 (1L中)

成 分	量
$\text{FeSO}_4 \cdot 7\text{H}_2\text{O}$	2.5 g ($\text{Fe}^{2+}=500\text{mg/l}$)
$(\text{NH}_4)_2\text{SO}_4$	166.67 mg
$\text{MgSO}_4 \cdot 7\text{H}_2\text{O}$	27.67 mg
KCl	5.56 mg
K_2HPO_4	27.76 mg
$\text{Ca}(\text{NO}_3)_2$	0.556 mg
10N H_2SO_4	1 ml

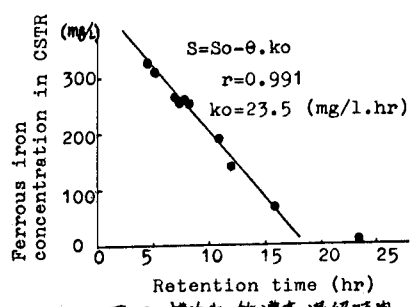


図-3 槽内第一鉄濃度と滞留時間の関係

これらの領域の溶存酸素濃度のレベルに比べ高い値(2.26 mgO₂/l)を取っている。このことより、0次反応に従った原因として、溶存酸素による鉄酸化反応の制限が考えられる。0次反応に従つて13領域ごとの槽内基質濃度は66 mg/l ~ 329 mg/l の範囲(図-3)にあるが、このふるな低い濃度では、浮遊状態の鉄酸化バクテリアは0次反応に従わないとることが知られている。(図-10 参照) 付着鉄酸化バクテリアの微生物膜を考えた場合、微生物膜中の個々のバクテリアは一次反応に従つて13ものと考えられるが、微生物膜(付着鉄酸化バクテリア)を個々のバクテリアの集合体として統括的にとらえ、さらには溶存酸素による制限を考慮すると(図-3)のような0次反応に従う原因が明白となる。(図-5)は、比基質消費速度と比酸素消費速度の関係を示したもので、酸素収支より得られた式の直線回帰により、O₂/Fe²⁺の重量比を表す係数 $a=0.1343$ (mgO₂/mg-Fe²⁺)、内性呼吸を表現する項 $b=6.18 \times 10^{-8}$ (mg/cell·hr) が求まつた。 a の値は化学量論的に求められた比0.14とほぼ一致する値である。(図-6)は、

$$\mu = XF/A \quad (X: 浮遊菌数, F: 流入流量, A: 附着面積)$$

の式より計算した増殖速度と槽内基質濃度の関係を示したものである。2回の実験系列で再現性が見られなかったが、定性的な傾向として基質濃度が減少するに伴い増殖速度も減少していくことが示された。ここで得られた付着菌の増殖速度のオーダー($\times 10^5$)は、赤川での浮遊菌の増加現象が付着菌より離脱したバクテリアに由来することを説明するのに十分な値である。(図-7)は、比基質消費速度と比増殖速度の関係を示したものである。この結果も再現性に乏しいが、増殖收率が 10^6 ~ 10^7 のオーダーに存在するところが示されている。また、右下の(○)の実は、他の(●)の実群に比べ低い收率を示している。この実は(図-3)(図-4)におけるθ=23.3 hrの実に当り、溶存酸素が他に比べ高い状態での増殖收率を示している。ある種の微生物(Azotobacter 等)の増殖收率は、溶存酸素濃度が高くなるにつれエネルギー非共役型の増殖パターンが生じ、收率が低下することが知られている。このことより、上記の現象を説明することができる。

②回分実験の結果を(図-8)(図-9)に示す。(図-8)は、ホフスティフロットによって得られた動力学定数を用ひ) Michaelis-Menten式の形で表現したものである。基質飽和定数の平均値は約0.053 mgO₂/l であり、O₂に対する親和性が非常に高いことが示された。(図-9)は(図-8)の最大比呼吸速度と平均第一鉄濃度より求めたMichaelis-Menten式である。 $V_{max,O_2} = 3.114 \times 10^{-10}$ mgO₂/cell·hrを量論比0.14によって基質消費速度に換算すると 21.8×10^{-10} mgFe²⁺/cell·hrが得られ、海田氏の 36.0×10^{-10} mgFe²⁺/cell·hrの値とオーダー的に一致している。両者の違いとしては、実験条件および基質組成の相違等が考えられる。

(結論) 浮遊状態での鉄酸化バクテリアの酸素に対する親和性は非常に高いが、鉄酸化バクテリアの微生物膜による鉄酸化作用は、溶存酸素によって制限を受ける。

(参考文献: S.OHGAKI et al Water Research

Vol.12 p243 to 249)

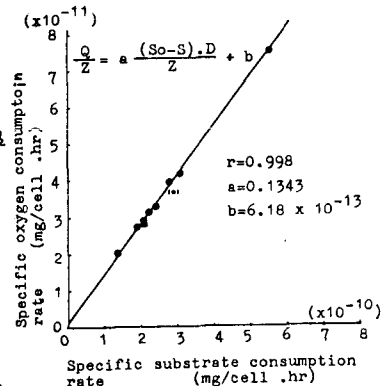


図-5 比基質消費速度と比酸素消費速度の関係

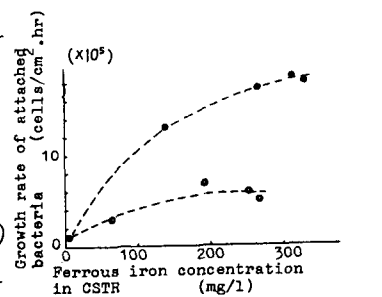


図-6 槽内から鉄濃度と単位面積あたり増殖速度の関係

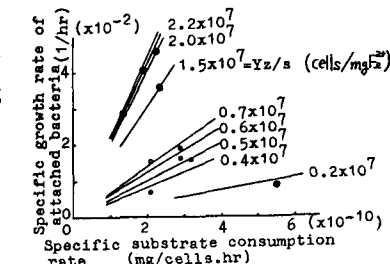


図-7 比基質消費速度と比増殖速度の関係

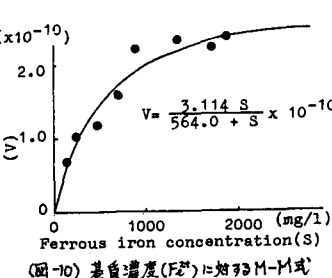


図-10 基質濃度(Fe²⁺)に対するM-M式

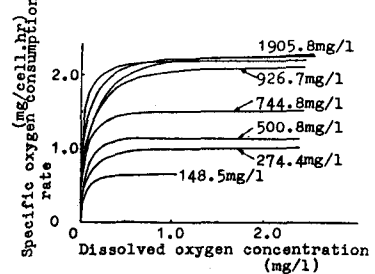


図-8 回分実験で得られたM-M式